

ФОТОГЕНЕРАЦИЯ НЕЙТРИНО И АКСИОНОВ ПРИ СТИМУЛИРУЮЩЕМ ВЛИЯНИИ СИЛЬНОГО МАГНИТНОГО ПОЛЯ

*B. B. Скобелев**

*Московский государственный индустриальный университет
109280, Москва, Россия*

Поступила в редакцию 3 мая 2001 г.

В рамках разрабатываемой двумерно-ковариантной теории расчета матричных элементов фейнмановских диаграмм в сильном магнитном поле рассмотрены процессы фотогенерации нейтрино и аксионов на ядрах $\gamma(Ze) \rightarrow \gamma(\nu\bar{\nu})$, γa , а также неупругое рассеяние фотона на фотоне $\gamma\gamma \rightarrow \gamma(\nu\bar{\nu})$, γa . Поскольку матричные элементы четырехполюсных диаграмм линейно зависят от индукции B магнитного поля, при значениях $B \sim 10^3$ – $10^4 B_0$ ($B_0 = m_e^2/|e| = 4.41 \cdot 10^{13}$ Гс) вклад радиационного фоторождения нейтрино на ядрах в светимость магнитных нейтронных звезд на ранних стадиях их эволюции может конкурировать с URCA-процессами. Из условия доминирования нейтринной светимости над акционной при предположенных значениях температуры и индукции магнитного поля получена оценка верхней границы массы аксиона, согласующаяся с другими независимыми результатами.

PACS: 14.80.-j

1. ВВЕДЕНИЕ

Сейчас является общепризнанным [1, 2], что в экстремальных астрофизических ситуациях типа взрыва сверхновой с образованием нейтронной звезды основным механизмом выброса энергии является нейтринное излучение, что обусловлено его большой проникающей способностью. Разумеется, физика нейтрино и сама по себе является важной составной частью теории элементарных частиц с такими принципиальными ее составляющими, как вопрос о наличии нейтрино с определенными массами [3, 4], вид унитарной матрицы смешивания при образовании нейтринных состояний ν_e , ν_μ , ν_τ , входящих в слабый ток, число ароматов нейтрино и т. д. В этом смысле сколлапсированные астрофизические объекты, а также Вселенная в целом с возможным доминированием массивной нейтринной компоненты как носителя скрытой массы являются гигантскими природными лабораториями, способствующими развитию наших знаний о нейтрино.

Помимо стандартных ядерных реакций (URCA-процессы), в формирование нейтринно-

го излучения упомянутых объектов дают вклад квантовые процессы типа комптоновского механизма $\gamma e^- \rightarrow e^-(\nu\bar{\nu})$ [5], тормозного излучения $e^-(Ze) \rightarrow e^-(\nu\bar{\nu})$ [6] и др. На возможную генерацию нейтрино с возбуждением вакуумных состояний электрона, по-видимому, впервые было указано Розенбергом [7], рассмотревшим конверсию фотона в пару нейтрино на ядре $\gamma(Ze) \rightarrow (\nu\bar{\nu})$ в схеме Ферми, обусловленную вкладом электронного трехполюсника. Заметный вклад такого механизма возможен при высокой температуре $T \sim m$ (m — масса электрона) равновесного фотонного излучения и большой концентрации ядер. Само по себе это достаточно удивительно, поскольку в лабораторных условиях с трудом удалось идентифицировать подобные электродинамические эффекты высшего порядка с электронным четырехполюсником (эффект Дельбрюка [8, 9], расщепление фотона на ядре [10, 11]), а основной нелинейный электродинамический эффект рассеяния света на свете пока не обнаружен вовсе.

Принципиально новые особенности в формирование нейтринного излучения в процессе коллапса вносят наличие сверхсильных магнитных полей, об-

*E-mail: SKOBELEV@mail.msv.ru

разующихся за счет сжатия первичной магнитосферы при сохранении магнитного потока. По оценкам индукция магнитного поля может достигать характерного швингеровского значения

$$B_0 = \frac{m^2}{|e|} = 4.41 \cdot 10^{13} \text{ Гс}$$

($e < 0$ — заряд электрона) и более, вплоть до величины $B \sim 10^4 B_0$ [12]. Это ведет к открытию других каналов генерации нейтрино, таких, например, как $\gamma \rightarrow (\nu\bar{\nu})$ [13, 14] или синхротронного механизма излучения нейтрино $e^- \rightarrow e^-(\nu\bar{\nu})$ [15–18]. Отметим, в частности, что в работе [18] было указано на новую возможность регистрации массы нейтрино на основе анализа пороговых эффектов при синхротронном излучении массивных нейтрино. Далее будем исходить из среднего ограничения на массу электронного нейтрино, приведенного в работе [19],

$$m_{\nu_e} < 15 \text{ эВ.} \quad (1)$$

Более сильное ограничение не влияет на наши результаты, которые получены в пренебрежении массой нейтрино по сравнению с характерными энергиями, фигурирующими в работе.

Для каналов, открытых и в отсутствие внешнего магнитного поля, влияние поля наиболее существенно, если реальные и виртуальные электроны находятся на основном уровне Ландау. Это ведет к переходу к двумерному случаю теории в подпространстве $(0, 3)$ (ось 3 направлена вдоль поля). Соответствующий математический аппарат был предложен в работах [14, 20] и развит в других, ссылки на которые можно найти в цитируемых здесь публикациях. Поскольку это обстоятельство систематически игнорируется некоторыми авторами (см., например, [21]), то в разд. 2 мы кратко излагаем основные принципы этого подхода и наиболее важные его следствия при выполнении соответствующих ограничений на импульсы внешних линий.

В частности, матричные элементы диаграмм без возбуждения вакуума (например, диаграмма комптон-эффекта) не содержат зависимости от поля, его роль сводится к зависимости «движения» электрона только от временной и одной пространственной координат. Однако в этом случае зависимость от поля, приводящая в ряде случаев к стимулированному усилению эффектов, может появиться при интегрировании по квазимпульсам внешних электронных линий, а также при учете температурных

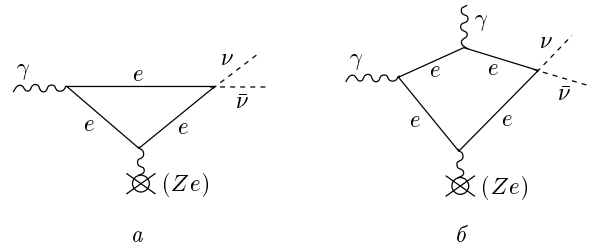


Рис. 1.

функций распределения электронного газа со значением импульса Ферми [22]

$$p_F = \frac{2\pi^2 n}{\gamma}, \quad (2)$$

где $\gamma = |eB|$, n — концентрация электронов. Например, это показано в работе [23], в которой рассмотрен комптоновский механизм излучения нейтрино и аксионов $\gamma e^- \rightarrow e^-(\nu\bar{\nu})$, e^-a на двумерном замагниченном ферми-газе.

Стимулирующее влияние внешнего магнитного поля с индукцией $B \gg B_0$ проявляется и в диаграммах без внешних электронных линий. При четном числе векторных и (или) псевдовекторных вершин в электронной петле матричный элемент линейно зависит от поля, а при нечетном — становится постоянным. Таким образом, сечения, вероятности и мощность излучения, соответствующие процессам первого типа, содержат фактор $(B/B_0)^2 \gg 1$, в отличие от характеристик процессов второго типа, и могут превосходить их, даже являясь величинами большего порядка по формальной теории возмущений. В этом нет никакого противоречия, так как в обычной квантовой электродинамике (КЭД) вклад петлевой диаграммы порядка n с четным числом векторных вершин превосходит вклад диаграммы порядка $n - 1$, который равен нулю (теорема Фарри). Характеристики процесса фотогенерации нейтрино на ядре $\gamma(Ze) \rightarrow (\nu\bar{\nu})$ с учетом вклада треугольной диаграммы в сильном магнитном поле $B \gg B_0$ (рис. 1а) исследовались в работе [24] в рамках схемы Ферми. Как видно, есть прямой смысл рассмотреть радиационное рождение пары нейтрино $\gamma \rightarrow \gamma(\nu\bar{\nu})$, индуцируемое электронным четырехполюсником (рис. 1б). Заметим, что аналогичные каналы неупругого рассечения «света на свете» $\gamma\gamma \rightarrow \gamma(\nu\bar{\nu})$ и слияния фотонов на ядре $\gamma\gamma(Ze) \rightarrow (\nu\bar{\nu})$ и их вклады в светимость изучались нами ранее [25, 26].

В последнее время обсуждается идея о существовании псевдоскалярного голдстоуновского бозона — аксиона. Благодаря ей становится возможным объ-

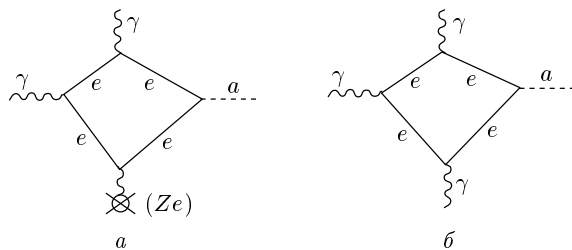


Рис. 2.

яснение наблюдаемой точной СР-инвариантности сильных взаимодействий [27]. Также аксион конкурирует с нейтрино в качестве кандидата на роль носителя скрытой массы и одного из механизмов выброса энергии звезды при ее коллапсе в силу малости постоянной связи $1/f$ аксиона с «обычными» частицами (невидимый аксион). Поэтому вполне естественной выглядит программа по параллельному изучению нейтринной и аксионной светимостей звезд за счет различных механизмов их генерации. Поскольку масса аксиона жестко связана с энергетическим масштабом f нарушения глобальной симметрии Печчеи–Куинн [28]

$$m_a \approx 0.6 \cdot 10^{-3} \text{ эВ} \left(\frac{10^{10} \text{ ГэВ}}{f} \right), \quad (3)$$

сравнение нейтринной светимости с аксионной позволяет уточнить возможный диапазон значений массы аксиона, который пока достаточно широк

$$10^{-5} \text{ эВ} \lesssim m_a \lesssim 10^{-2} \text{ эВ}. \quad (4)$$

В этой связи в работе рассмотрены канал радиационного фоторождения аксиона на ядре $\gamma(Ze) \rightarrow \gamma a$ (рис. 2a) и канал неупругого рассеяния $\gamma\gamma \rightarrow \gamma a$ (рис. 2б), которым также соответствует четырехполюсная диаграмма.

Порядок изложения материала следующий. В разд. 2 формулируются основные принципы развиваемого нами метода расчета фейнмановских диаграмм в сильных магнитных полях. В разд. 3 определены матричные элементы процессов радиационного фоторождения аксиона на ядре $\gamma(Ze) \rightarrow \gamma a$ и пары нейтрино на ядре $\gamma(Ze) \rightarrow \gamma(\nu\bar{\nu})$ и рассчитаны соответствующие мощности излучения в предположении равновесного распределения фотонов. В разд. 4 аналогичное исследование проведено для неупругого рассеяния $\gamma\gamma \rightarrow \gamma a$ с приведением полученного ранее результата для процесса $\gamma\gamma \rightarrow \gamma(\nu\bar{\nu})$. В разд. 5 характеристики рассмотренных эффектов анализируются с точки зрения их вклада в аксионную и ней-

тринную светимости сколлапсированных объектов и возможных ограничений на массу аксиона.

2. ПРИНЦИПЫ РАСЧЕТА МАТРИЧНЫХ ЭЛЕМЕНТОВ ФЕЙНМАНОВСКИХ ДИАГРАММ В СИЛЬНОМ МАГНИТНОМ ПОЛЕ

Решение уравнения Дирака в декартовых координатах в постоянном и однородном магнитном поле,

$$(i\hat{\partial} - e\hat{A} - m)\Psi = 0, \quad (5)$$

$$A_\alpha = Bx_1g_{\alpha 2}, \quad (5a)$$

было найдено в работе [29] и в стандартном представлении γ -матриц имеет вид

$$\Psi = \frac{(\gamma/\pi)^{1/4}}{(2p_0L_2L_3)^{1/2}} \times \exp \left[-\frac{\xi^2}{2} + i(p_2x_2 + p_3x_3) \right] u_n, \quad (6)$$

$$u_n = \frac{2^{-n/2}}{\sqrt{n!}} \begin{pmatrix} -iC_1\sqrt{2n}H_{n-1}(\xi) \\ C_2H_n(\xi) \\ -iC_3\sqrt{2n}H_{n-1}(\xi) \\ C_4H_n(\xi) \end{pmatrix}, \quad (7)$$

$$\xi = x_1\sqrt{\gamma} + \frac{p_2}{\sqrt{\gamma}}, \quad (8)$$

где $H_n(\xi)$ — полиномы Эрмита, спиновые коэффициенты C_j удовлетворяют условию нормировки

$$\sum_{j=1}^4 |C_j|^2 = 2p_0. \quad (9)$$

Здесь

$$p_0 = \sqrt{m^2 + p_3^2 + 2\gamma n}$$

— энергия электрона с импульсом p_3 вдоль поля и значением квантового числа $n = 0, 1, 2, \dots$, p_2 — квазимпульс, характеризующий положение центра пакета на оси 1, $L_{2,3}$ — вспомогательные нормировочные длины по осям 2, 3.

На основном уровне Ландау, $n = 0$, спин электрона направлен против поля, а спиновые коэффициенты равны

$$C_1 = C_3 = 0, \quad C_2 = \frac{p_0 + m}{\sqrt{p_0 + m}}, \quad (10)$$

$$C_4 = -\frac{p_3}{\sqrt{p_0 + m}}, \quad p_0 = \sqrt{p_3^2 + m^2}.$$

Получающийся спинор $u_0(p)$ не зависит от координат и удовлетворяет уравнениям

$$\begin{cases} (\hat{p}_\parallel - m) u_0 = 0, & \hat{p}_\parallel = p_0 \gamma^0 + p_3 \gamma^3, \\ \prod_- u_0 = u_0, & \prod_- = \frac{1 - i\gamma_1 \gamma_2}{2}, \\ \bar{u}_0 u = 2m, & u_0 \bar{u}_0 = \prod_- (\hat{p}_\parallel + m). \end{cases}$$

Это означает, что на основном уровне Ландау пространство физических импульсов и γ -матриц фактически вырождается в двумерное $(0, 3)$, так что можно ввести двумерный спинор $v(p)$ и матрицы 2×2 $\tilde{\gamma}_\alpha$ ($\alpha = 0, 3$) со свойствами

$$(\check{p} - m) v = 0, \quad \check{p} = p_0 \tilde{\gamma}^0 + p_3 \tilde{\gamma}^3, \quad (12a)$$

$$\bar{v}v = 2m, \quad \bar{v} = v^+ \tilde{\gamma}^0, \quad (12b)$$

$$v\bar{v} = (\check{p} + m). \quad (12c)$$

Причем, например, в эквивалентном стандартному представлении

$$\tilde{\gamma}^0 = \begin{pmatrix} 1 & 0 \\ 0 & -1 \end{pmatrix}, \quad \tilde{\gamma}^3 = \begin{pmatrix} 0 & 1 \\ -1 & 0 \end{pmatrix},$$

а выражения (12) от представления не зависят.

Основная редукционная формула, делающая элементарной процедуру вычисления следов и сверток, имеет вид

$$\tilde{\gamma}_\alpha \tilde{\gamma}_\beta = \tilde{g}_{\alpha\beta} + \tilde{\gamma}^5 \varepsilon_{\alpha\beta}, \quad (13)$$

где $\tilde{\gamma}^5 = \tilde{\gamma}^0 \tilde{\gamma}^3$, $(\tilde{\gamma}^5)^2 = 1$, $\tilde{g}_{\alpha\beta} = (1, -1)$ — метрический и $\varepsilon_{\alpha\beta}$ ($\varepsilon_{30} = -\varepsilon_{03} = 1$) — абсолютно антисимметричный тензоры в подпространстве $(0, 3)$. В частности, с учетом соотношения

$$\varepsilon^{\alpha\beta} \varepsilon^{\rho\sigma} = \tilde{g}^{\alpha\sigma} \tilde{g}^{\beta\rho} - \tilde{g}^{\alpha\rho} \tilde{g}^{\beta\sigma} \quad (14)$$

легко получить следующие:

$$\tilde{\gamma}_\alpha \tilde{\gamma}_\beta + \tilde{\gamma}_\beta \tilde{\gamma}_\alpha = 2\tilde{g}_{\alpha\beta}, \quad (15a)$$

$$\tilde{\gamma}^\alpha (\tilde{\gamma}_{\alpha_1} \dots \tilde{\gamma}_{\alpha_{2n+1}}) \tilde{\gamma}_\alpha = 0, \quad (15b)$$

$$\frac{1}{2} \text{Tr} (\tilde{\gamma}^5 \tilde{\gamma}^\alpha \tilde{\gamma}^\beta \tilde{\gamma}^\rho \tilde{\gamma}^\sigma) = \tilde{g}^{\alpha\beta} \varepsilon^{\rho\sigma} + \varepsilon^{\alpha\beta} \tilde{g}^{\rho\sigma} \quad (15c)$$

и т. д.

Решение сингулярного уравнения Дирака в постоянном и однородном магнитном поле,

$$(i\hat{d} - e\hat{A} - m) S(x, y) = \delta(x - y), \quad (16)$$

в той же калибровке (5a) может быть представлено в форме [24]

$$S(x, y) = f(x_\perp, y_\perp) G(x - y), \quad (17)$$

$$f(x_\perp, y_\perp) = \exp \left[-\frac{i\gamma}{2} (x_1 + y_1)(x_2 - y_2) \right], \quad (17a)$$

$$G(z) = \frac{1}{(2\pi)^4} \int d^4 q e^{-i(qz)} G(q), \quad (17b)$$

$$G(q) = \frac{1}{\gamma\eta} \int_0^1 dt \left(\frac{1+t}{1-t} \right)^\eta \times \\ \times e^{-\delta t} \left\{ (\hat{q}_\parallel + m) \left[\prod_- (1-\delta t) - \frac{\eta}{1+t} \right] - \eta \hat{q}_\perp \right\}, \quad (17c)$$

где введены обозначения

$$\eta = \frac{q_\parallel^2 - m^2}{2\gamma}, \quad q_\parallel^2 = q_0^2 - q_3^2, \quad \delta = \frac{q_\perp^2}{\gamma}, \quad (18)$$

$$q_\perp^2 = q_1^2 + q_2^2, \quad \hat{q}_\perp = q_1 \gamma^1 + q_2 \gamma^2.$$

При выполнении условия

$$|\eta| \ll 1 \quad (19)$$

выражение (17c) принимает вид

$$G(q) = 2e^{-\delta} \prod_- \frac{\hat{q}_\parallel + m}{q_\parallel^2 - m^2}.$$

Очевидно, в случае диаграмм без возбуждения вакуума ограничение (19) выполняется, если импульсы внешних электронных линий удовлетворяют условию

$$(p_i)_\parallel^2 - m^2 < 2\gamma, \quad (19a)$$

а фотонных (аксионных, нейтриновых) — условию

$$(k_i p_j)_\parallel, \quad (k_i)_\parallel^2 \ll \gamma. \quad (19b)$$

В случае диаграмм с возбуждением вакуума при сходимости интегралов по двумерному $(0, 3)$ импульсу петли на массе электрона должно выполняться дополнительное ограничение

$$\gamma \gg m^2 \quad (B \gg B_0). \quad (19c)$$

Переходя к двумерным в $(0, 3)$ $\tilde{\gamma}$ -матрицам и сверткам, представим гриновскую функцию в виде

$$S_s(x, y) = \frac{\gamma}{2\pi} f(x_\perp, y_\perp) \varphi((x - y)_\perp) \frac{1}{(2\pi)^2} \times \\ \times \int d^2 q e^{-iq(x-y)} G_s(q), \quad (20)$$

$$\varphi(z_\perp) = \exp \left[-\frac{\gamma}{4} (z_1^2 + z_2^2) \right], \quad (20a)$$

$$G_s(q) = \frac{\check{q} + m}{q^2 - m^2}, \quad (20b)$$

причем подразумевается, что вершинные факторы в матричных элементах диаграмм также трансформируются в двумерные, поскольку

$$\Pi_-(\gamma_\alpha, \gamma_\alpha \gamma^5) \Pi_- \rightarrow (\tilde{\gamma}_\alpha, \tilde{\gamma}_\alpha \tilde{\gamma}^5)$$

и отличны от нуля лишь при $\alpha = 0.3$.

При вычислении матричных элементов диаграмм без возбуждения вакуума (например, диаграмма типа комптон-эффекта) интеграл по поперечным координатам имеет вид

$$\begin{aligned} J = & \int dx_1 dx_2 \int dy_1 dy_2 f(x_\perp, y_\perp) \varphi((x - y)_\perp) \times \\ & \times \exp \left[-\frac{1}{2} \left(\sqrt{\gamma} x_1 + \frac{p'_2}{\sqrt{\gamma}} \right)^2 - ip'_2 x_2 - \right. \\ & - \frac{1}{2} \left(\sqrt{\gamma} y_1 + \frac{p_2}{\sqrt{\gamma}} \right)^2 + \\ & \left. + ip_2 y_2 + ik_1 y_1 + ik_2 y_2 - ik'_1 x_1 - ik'_2 x_2 \right] \end{aligned}$$

и после взятия интегралов гауссова типа равен

$$\begin{aligned} J = & 4\pi \left(\frac{\pi}{\gamma} \right)^{3/2} \delta(p_2 + k_2 - p'_2 - k'_2) \exp \left[-\frac{k_\perp^2 + k'^2_\perp}{4\gamma} + \right. \\ & \left. + \frac{i}{2\gamma} (k_2 k'_1 - k_1 k'_2) + \frac{i}{2\gamma} (p_2 + p'_2)(k'_1 - k_1) \right], \quad (21) \end{aligned}$$

где p_2 и p'_2 — квазимпульсы входящей и выходящей электронных линий, $k_{1,2}$ и $k'_{1,2}$ — поперечные импульсы входящей и выходящей линий беззарядовых частиц (фотонов и т. д.). В силу ограничений (19а), (19б), первое и второе слагаемые в показателе экспоненты в (21) можно опустить, а третье имеет такой же вид и для других диаграмм данного процесса, и в случае реальных внешних беззарядовых линий его также можно опустить как несущественный фазовый множитель. Например, матричный элемент «двумерного» комптон-эффекта с учетом формул (6), (20) записывается следующим образом:

$$\langle f | S | i \rangle = i(2\pi)^3 \delta^{(0,2,3)}(p + k - p' - k') \times \frac{M}{(2k_0 2k'_0 2p_0 2p'_0)^{1/2} L_2 L_3 V}, \quad (22)$$

$$M = 4\pi\alpha\bar{v}(p') \times \times [\check{e}G_s(p - k')\check{e}'^* + \check{e}'^*G_s(p + k)\check{e}] v(p), \quad (23)$$

где вид двумерной функции Грина G_s в импульсном представлении определяется выражением (20б),

свойства двумерного спинора v заданы формулами (12а), (12б), (12в), e и e' — векторы поляризации начального и конечного фотонов. Выражение M совпадает с матричным элементом «четырехмерного» комптон-эффекта [30] при переходе к двумерным величинам и сверткам, причем оно не содержит явной зависимости от поля. Сечения и вероятности также не будут содержать зависимости от поля, так как интегрирование по $L_2 dp'_2/(2\pi)$ исключает $\delta^{(2)}$ -функцию. Если же рассматривать перекрестные процессы вида $\gamma\gamma \rightarrow e^+e^-$, $\gamma \rightarrow \gamma e^+e^-$, то дополнительное интегрирование по $L_2 dp_2/(2\pi)$, согласно (6), (8), эквивалентно интегрированию по координате X_1 центра пакета, т. е.

$$\frac{L_2}{2\pi} \int dp_2 = \frac{L_2 \gamma}{2\pi} \int_0^{L_1} dX_1 = \frac{L_1 L_2}{2\pi} \gamma, \quad (24)$$

где L_1 — эффективная нормировочная длина по оси 1. Таким образом, сечения и вероятности таких процессов линейно зависят от поля.

Заметим также, что «нестерильными» состояниями поляризации фотона в двумерном варианте теории являются состояния с электрическим вектором в плоскости импульс-поле, в ковариантной записи задаваемые выражением

$$e_\alpha = \frac{(k\varepsilon)_\alpha}{\sqrt{k^2}}, \quad e^2 = -1, \quad (25)$$

где $\varepsilon_{\mu\nu}$ — введенный ранее абсолютно антисимметричный тензор в пространстве (0, 3).

Как указывалось в разд. 1, далее предметом нашего обсуждения будут диаграммы с четным числом векторных и (или) псевдовекторных вершин. Матричному элементу петлевой диаграммы с фиксированным расположением векторных и (или) псевдовекторных вершин соответствует тензор (псевдотензор)

$$\begin{aligned} M_{\alpha_1 \dots \alpha_n} (k^{(1)}, \dots, k^{(n)}) = & \int d^4 x_1 \dots \int d^4 x_n \times \\ & \times \exp \left[i \sum_{j=1}^n \left(k^{(j)} x_j \right) \right] \text{Tr} \left[\tilde{\Gamma}_{\alpha_1}^{(1)} S_s(x_1, x_2) \times \right. \\ & \left. \times \tilde{\Gamma}_{\alpha_2}^{(2)} S_s(x_2, x_3) \dots \tilde{\Gamma}_{\alpha_n}^{(n)} S_s(x_n, x_1) \right], \quad (26) \end{aligned}$$

где скалярные произведения в показателе экспоненты являются четырехмерными, вид S_s задается формулами (20), (20а), (20б), $k^{(j)}$ — импульсы внешних линий беззарядовых частиц, а

$$\tilde{\Gamma}_\alpha^{(j)} = (\tilde{\gamma}_\alpha, \tilde{\gamma}_\alpha \tilde{\gamma}^5). \quad (27)$$

Интегрирование по поперечным координатам может быть выполнено путем последовательного применения следующего интегрального соотношения

$$\begin{aligned} \int d^2 z_\perp f(x_\perp, z_\perp) \varphi((x-z)_\perp) f(z_\perp, y_\perp) \times \\ \times \varphi((z-y)_\perp) \exp[-i(kz)_\perp] = \frac{2\pi}{\gamma} \times \\ \times f(x_\perp, y_\perp) \varphi((x-y)_\perp) \tilde{\varphi}(x_\perp, y_\perp) \times \\ \times \exp\left[-\frac{i}{2}(k(x+y))_\perp\right], \quad (28) \end{aligned}$$

$$\begin{aligned} \tilde{\varphi}(x_\perp, y_\perp) = \\ = \exp\left\{-\frac{k_\perp^2}{2\gamma} + \frac{1}{2}[k_2(x_1-y_1) - k_1(x_2-y_2)]\right\}. \quad (28a) \end{aligned}$$

Поскольку из вида $\varphi((x-y)_\perp)$ ясно, что

$$((x-y)_\perp)^2_{eff} \sim \gamma^{-1/2},$$

то показатель экспоненты в (28a) имеет порядок $k_\perp/\sqrt{\gamma}$ и в рассматриваемом приближении в соответствии с условием (19б) $\tilde{\varphi} \approx 1$.

Таким образом, в результате $2(n-1)$ -кратного интегрирования по поперечным координатам исчезает $n-1$ множителей $\gamma/2\pi$, входящих в выражение для S_s . При интегрировании по последней паре поперечных координат появляется фактор

$$(2\pi)^2 \delta^{(1,2)} \left(\sum_{j=1}^n k^{(j)} \right).$$

Учитывая, что один множитель $\gamma/2\pi$ остается, и выполняя интегрирование по координатам (0,3) в формуле (26), получаем

$$\begin{aligned} M_{\alpha_1 \dots \alpha_n} \left(k^{(1)}, \dots, k^{(n)} \right) = 2\pi\gamma\delta \left(\sum_{j=1}^n k^{(j)} \right) \times \\ \times \int d^2 q \text{Tr} \left[\tilde{\Gamma}_{\alpha_1}^{(1)} G_s(q) \tilde{\Gamma}_{\alpha_2}^{(2)} G_s(q+k^{(2)}) \dots \right. \\ \left. \dots \tilde{\Gamma}_{\alpha_n}^{(n)} G_s(q-k^{(1)}) \right], \quad (29) \end{aligned}$$

при этом сохраняется 4-импульс. Здесь и далее обозначение $\delta(k)$ применяется для четырехмерной δ -функции.

При нечетном числе вершин добавление к выражению (29) слагаемого с обратным направлением обхода петли дает нулевой результат независимо от конкретного вида $\tilde{\Gamma}_\alpha^{(i)}$ (27), т. е. в двумерном варианте по сравнению с четырехмерным имеет место расширенная теорема Фарри. Это означает, что в выражении (17в) следует учитывать следующие члены

разложения по η (по обратному полю), и в итоге матричные элементы подобных диаграмм при $B \gg B_0$ не зависят от поля.

При четном числе вершин результирующий тензор получается приведением выражения (29) к симметричному виду и в нуль не обращается, т. е. матричный элемент линейно зависит от поля.

Заметим также, что в сильных магнитных полях порядка 10^{18} Гс фактический параметр разложения теории возмущений в рамках КЭД начинает зависеть от поля ($\alpha \ln^2(B/B_0)$, $\alpha(B/B_0)$, $\alpha = e^2 = 1/137$), и в таких случаях следует суммировать ряд теории возмущений, что было сделано для основных типов компактных диаграмм КЭД в работах [31].

3. ФОТОРОЖДЕНИЕ АКСИОНОВ И НЕЙТРИНО НА ЯДРАХ

Лагранжиан взаимодействия аксиона с электроном имеет вид

$$\mathcal{L}_a = \frac{ce}{2f} \frac{\partial a}{\partial x^\alpha} (\bar{\Psi}_e \gamma^\alpha \gamma^5 \Psi_e), \quad (30a)$$

лагранжиан электрослабой модели в контактном приближении равен

$$\begin{aligned} \mathcal{L}_\nu = -\frac{G}{\sqrt{2}} [\bar{\Psi}_e \gamma^\alpha (C_V + C_A \gamma^5) \Psi_e] \times \\ \times [\bar{\Psi}_\nu \gamma_\alpha (1 + \gamma^5) \Psi_\nu], \quad (30b) \end{aligned}$$

(c_e — модельно-зависимая постоянная порядка единицы), а структурные постоянные выражаются через угол Вайнберга

$$C_V^{(e)} = \frac{1}{2} + \sin^2 \theta_W, \quad C_A^{(e)} = \frac{1}{2}$$

для электронных нейтрино и $C^{(\mu, \tau)} = C^{(e)} - 1$ для μ - и τ -нейтрино. С учетом лагранжиана КЭД

$$\mathcal{L} = e A^\alpha (\bar{\Psi}_e \gamma_\alpha \Psi_e) \quad (30b)$$

и с использованием изложенной в разд. 2 техники расчета петлевых диаграмм в сильном магнитном поле можно получить следующее выражение для матричного элемента процесса фоторождения аксиона:

$$\langle f | S | i \rangle_a = \frac{e^\alpha e'^*\alpha' A^\beta(\kappa)}{(2q_0 2k_0 2k'_0)^{1/2} V^{3/2}} M_{\alpha\alpha'\beta}, \quad (31)$$

$$M_{\alpha\alpha'\beta} = \frac{e^3 c_e \gamma}{6\pi f} J_{\alpha\alpha'\beta}(-k, k', \kappa), \quad (32)$$

где $J_{\alpha\alpha'\beta}$ — симметризованный по фотонным линиям тензор в подпространстве $(0, 3)$:

$$\begin{aligned} J_{\alpha\alpha'\beta}(k, k', \kappa) = & -\frac{i}{\pi} \int d^2 p \frac{1}{2} \text{Tr} [\tilde{\gamma}^5 \tilde{q} G_s(p) \times \\ & \times \tilde{\gamma}_\alpha G_s(p+k) \tilde{\gamma}_{\alpha'} G_s(p+k+k') \times \\ & \times \tilde{\gamma}_\beta G_s(p-q)] + \text{две перестановки}. \end{aligned} \quad (33)$$

В формуле (31) V — нормировочный объем, $A^\beta(\kappa)$ — фурье-образ учитываемого в первом борновском приближении внешнего поля, в случае кулоновского поля ядра равный

$$A_\beta(\kappa) = g_{\beta 0} \frac{8\pi^2 \delta(\kappa_0)(Ze)}{\kappa^2}, \quad (34)$$

$\kappa = k - k' - q$ — переданный импульс, k и k' — импульсы начального и конечного фотонов, q — импульс аксиона.

Вид тензора $J_{\alpha\alpha'\beta}$ в низкоэнергетическом приближении по массе электрона и в пренебрежении малой массой аксиона был определен в работе [32], в которой изучался трехфотонный распад аксиона:

$$J_{\alpha\alpha'\beta}(-k, k', \kappa) = -\frac{4q^2}{15m^6} (k\varepsilon)_\alpha (k'\varepsilon)_{\alpha'} (\kappa\varepsilon)_\beta, \quad (35)$$

$$J_{\alpha\alpha'\beta} k^\alpha = J_{\alpha\alpha'\beta} k'^{\alpha'} = J_{\alpha\alpha'\beta} \kappa^\beta = 0, \quad (35a)$$

причем в силу двумерности сверток

$$q^2 \equiv q_0^2 - q_3^2 = q_\perp^2.$$

Определяя нестерильные поляризационные состояния фотонов выражением (25), имеем с учетом соотношений (14) и (34)

$$\frac{(k\varepsilon)^\alpha}{\sqrt{k^2}} \frac{(k'\varepsilon)^{\alpha'}}{\sqrt{k'^2}} J_{\alpha\alpha'0}(-k, k', \kappa) = \frac{4q_\perp^2}{15m^6} k_\perp k'_\perp \kappa_3. \quad (35b)$$

Тогда найденная обычными методами вероятность фоторождения аксиона на ядре в единицу времени записывается в виде

$$W_a = \left(\frac{8\alpha^2 Z c_e \gamma}{45 f m^6} \right)^2 \frac{k_\perp^2}{2k_0(2\pi)^5 V} \int \frac{d^3 k'}{2k'_0} k'^2 I_a, \quad (36)$$

$$I_a = \int \frac{d^3 q}{2q_0} \delta(k_0 - k'_0 - q_0) \frac{q_\perp^4 (k_3 - k'_3 - q_3)^2}{(\mathbf{k} - \mathbf{k}' - \mathbf{q})^4}. \quad (37)$$

Далее нас будет интересовать имеющая физический смысл мощность акционного излучения из единицы объема при концентрации ядер n_0 и по планковскому распределению равновесного поля излучения. Как легко видеть, эта величина равна

$$\begin{aligned} S_a = & \left(\frac{8\alpha^2 Z c_e \gamma}{45 f m^6} \right)^2 \frac{n_0}{(2\pi)^8} \int \frac{d^3 k}{2k_0} \frac{k_\perp^2}{e^{k_0 T} - 1} \times \\ & \times \int_{(k'_0 \leq k_0)} \frac{d^3 k'}{2k'_0} k'^2 (k_0 - k'_0) I_a. \end{aligned} \quad (38)$$

Массовым параметром из-за его малости (1) мы пренебрегаем, поэтому после соответствующих замен зависимость от температуры факторизуется, а окончательный результат может быть записан в виде

$$S_a = \frac{691(2\pi)^7}{728 \cdot 45^3} \frac{\alpha^4 Z^2 c_e^2}{(f/m)^2} \times \\ \times \left(\frac{T}{m} \right)^{12} \left(\frac{B}{B_0} \right)^2 (n_0 m^2) \tilde{I}_a, \quad (39)$$

где величина \tilde{I}_a является числом, представленным в интегральной форме:

$$\begin{aligned} \tilde{I}_a = & \frac{1}{2\pi} \int_0^1 d\varepsilon \varepsilon^3 (1-\varepsilon)^6 \int_{-1}^1 dx (1-x^2) \int_{-1}^1 dy (1-y^2) \times \\ & \times \int_0^{2\pi} d\varphi \int_{-1}^1 dz (1-z^2)^2 \frac{n_3^2 \tilde{n}^2}{[\tilde{n}^4 - n_\perp^2 (1-\varepsilon)^2 (1-z^2)]^{3/2}}, \end{aligned} \quad (40)$$

$$\left\{ \begin{array}{l} n_3 = x - \varepsilon y - z(1-\varepsilon), \\ n_\perp^2 = 1 - x^2 + \varepsilon^2 (1-y^2) - \\ - 2\varepsilon \sqrt{(1-x^2)(1-y^2)} \cos \varphi, \\ \tilde{n}^2 = 1 - \varepsilon + \varepsilon^2 - \\ - \varepsilon xy - \varepsilon \sqrt{(1-x^2)(1-y^2)} \times \\ \times \cos \varphi - (x - \varepsilon y)(1-\varepsilon)z. \end{array} \right. \quad (40a)$$

Безразмерные переменные интегрирования соответствуют следующим переменным в пространстве импульсов:

$$\begin{aligned} z = & \frac{q_3}{k_0 - k'_0}, \quad \varepsilon = \frac{k'_0}{k_0}, \\ x = & \cos \theta_{\mathbf{k}}, \quad y = \cos \theta_{\mathbf{k}'}, \quad \varphi = \widehat{\mathbf{k}_\perp \mathbf{k}'_\perp}. \end{aligned} \quad (40b)$$

Численное интегрирование дает $\tilde{I}_a = 0.0046$.

Матричный элемент процесса радиационного фоторождения пары нейтрино на кулоновском центре с фурье-образом $A^\beta(\kappa)$ может быть получен с использованием выражений (30б), (30в) и имеет вид:

$$\langle f | S | i \rangle_\nu = i \frac{e^\alpha e'^*\alpha' A^\beta(\kappa) \mathcal{F}^{\beta'}}{(2k_0 2k'_0 2q_0 2q'_0)^{1/2} V^2} M_{\alpha\alpha'\beta\beta'}, \quad (41)$$

где

$$\mathcal{F}^{\beta'} = \left[\overline{u}_\nu(q) \gamma^{\beta'} (1 + \gamma^5) u_\nu(-q') \right], \quad (42)$$

$$M_{\alpha\alpha'\beta\beta'} = \frac{e^3 G \gamma}{3\sqrt{2}\pi} J_{\alpha\alpha'\beta\beta'}(-k, k', \kappa), \quad (43)$$

где симметризованный по фотонным линиям двумерный тензор $J_{\alpha\alpha'\beta\beta'}$ равен

$$\begin{aligned} J_{\alpha\alpha'\beta\beta'}(k, k', \kappa) = & \frac{i}{\pi} \int d^2 p \frac{1}{2} \text{Tr} [\tilde{\gamma}_{\beta'} (C_V + C_A \tilde{\gamma}^5) \times \\ & \times G_s(p) \tilde{\gamma}_\alpha G_s(p+k) \tilde{\gamma}_{\alpha'} G_s(p+k+k') \times \\ & \times \tilde{\gamma}_\beta G_s(p-Q)] + 2 \text{ перестановки}, \quad (44) \end{aligned}$$

$Q = q + q'$ — суммарный импульс нейтрино.

Вычисления, аналогичные проведенным в работе [32], дают в низкоэнергетическом приближении

$$\begin{aligned} J_{\alpha\alpha'\beta\beta'}(-k, k', \kappa) = & \frac{4}{15m^6} (k\varepsilon)_\alpha (k'\varepsilon)_{\alpha'} (\kappa\varepsilon)_\beta \times \\ & \times [C_V(Q\varepsilon)_{\beta'} + C_A Q_{\beta'}] \quad (45) \end{aligned}$$

с аналогичными (35а), (35б) свойствами по индексам α, α', β . Учитывая значение интеграла по импульсам нейтрино ($m_\nu = 0$),

$$\begin{aligned} \int \mathcal{F}^\nu \mathcal{F}^{*\mu} \delta(Q - q - q') \frac{d^3 q}{2q_0} \frac{d^3 q'}{2q'_0} = \\ = \frac{4\pi}{3} [Q^\mu Q^\nu - (Q^2 - Q_\perp^2) g^{\mu\nu}], \end{aligned}$$

и вид $A^\beta(\kappa)$ (34), вероятность фоторождения пары нейтрино на ядре в единицу времени можно представить в виде

$$\begin{aligned} W_\nu = & \left(\frac{8\sqrt{2}\alpha^2 ZG\gamma}{45m^6} \right)^2 \frac{k_\perp^2}{3k_0(2\pi)^7 V} \times \\ & \times \int \frac{d^3 k'}{2k'_0} k'^2 \left[I_\nu^{(V)} C_V^2 + I_\nu^{(A)} C_A^2 \right], \quad (46) \end{aligned}$$

$$\begin{Bmatrix} I_\nu^{(V)} \\ I_\nu^{(A)} \end{Bmatrix} = \int_{(Q_0^2 - \mathbf{Q}^2) \geq 0} d^3 Q \frac{(k_3 - k'_3 - Q_3)^2}{(\mathbf{k} - \mathbf{k}' - \mathbf{Q})^4} \times \\ \times (Q_0^2 - Q_3^2) \begin{Bmatrix} Q_0^2 - \mathbf{Q}^2 \\ Q_\perp^2 \end{Bmatrix}, \quad (47)$$

а мощность излучения —

$$\begin{aligned} S_\nu = & \left(\frac{8\sqrt{2}\alpha^2 ZG\gamma}{45m^6} \right)^2 \frac{2n_0}{3(2\pi)^{10}} \int \frac{d^3 k}{2k_0} \frac{k_\perp^2}{e^{k_0/T} - 1} \times \\ & \times \int_{(k'_0 \leq k_0)} \frac{d^3 k'}{2k'_0} k'^2 (k_0 - k'_0) \left[I_\nu^{(V)} C_V^2 + I_\nu^{(A)} C_A^2 \right]. \quad (48) \end{aligned}$$

Аналогичный формуле (39) результат имеет следующий вид:

$$\begin{aligned} S_\nu = & \frac{2(2\pi)^7}{135^2} \alpha^4 Z^2 (Gm^2)^2 \left(\frac{B}{B_0} \right)^2 \times \\ & \times \left(\frac{T}{m} \right)^{14} (n_0 m^2) \left[\tilde{I}_\nu^{(V)} C_V^2 + \tilde{I}_\nu^{(A)} C_A^2 \right] \quad (49) \end{aligned}$$

с интегральными представлениями коэффициентов

$$\begin{aligned} \tilde{I}_\nu^{(V)} = & \prod \left\{ (1-\varepsilon)^2 (1-z^2) - n_3^2 - n_\perp^2 + \right. \\ & + [f^2 + 4n_3^2 n_\perp^2]^{-1/2} \times \\ & \times [(n_3^2 + n_\perp^2)^2 + 2(1-\varepsilon)^2 (1-z^2) \times \\ & \times (n_3^2 - n_\perp^2) + (1-\varepsilon)^4 (1-z^2)^2] - \\ & \left. - 2n_3^2 \ln \left(\frac{(f^2 + 4n_\perp^2 n_3^2)^{1/2} + f}{2n_3^2} \right) \right\}, \quad (50a) \end{aligned}$$

$$\begin{aligned} \tilde{I}_\nu^{(A)} = & \prod \left\{ n_\perp^2 + n_3^2 + [f^2 + 4n_3^2 n_\perp^2]^{-1/2} \times \right. \\ & \times [-(n_3^2 + n_\perp^2)^2 + (1-\varepsilon)^2 (1-z^2)(n_\perp^2 - 3n_3^2)] + \\ & \left. + 2n_3^2 \ln \left(\frac{(f^2 + 4n_\perp^2 n_3^2) + f}{2n_3^2} \right) \right\}, \quad (50b) \end{aligned}$$

$$\begin{aligned} \prod \{A\} = & \frac{1}{2\pi} \int_0^1 d\varepsilon \varepsilon^3 (1-\varepsilon)^4 \int_{-1}^1 dx (1-x^2) \times \\ & \times \int_{-1}^1 dy (1-y^2) \int_0^{2\pi} d\varphi \int_{-1}^1 dz (1-z^2) A, \quad (50b) \\ f = & (1-\varepsilon)^2 (1-z^2) + n_3^2 - n_\perp^2. \quad (50c) \end{aligned}$$

Остальные обозначения безразмерных переменных те же, что и в (40а), (40б) с заменой $q_3 \rightarrow Q_3$. В результате численного интегрирования были получены значения $\tilde{I}_\nu^{(V)} \approx 2.2 \cdot 10^{-4}$, $\tilde{I}_\nu^{(A)} \approx 3.2 \cdot 10^{-4}$.

4. НЕУПРУГОЕ РАССЕЯНИЕ ФОТОНА НА ФОТОНЕ

Матричный элемент неупругого рассеяния $\gamma\gamma \rightarrow \gamma a$ с генерацией аксиона в низкоэнергетическом приближении по массе электрона получается из общих соотношений (29), (30а), (30в), (33), (35) и для разрешенных нестерильных состояний поляризации фотонов (25) равен

$$\langle f | S | i \rangle_a = \frac{(2\pi)^4 \delta(k + k' - k'' - q)}{(2k_0 2k'_0 2k''_0 2q_0)^{1/2} V^2} M_a, \quad (51)$$

$$M_a = -\frac{4e^3 c_e \gamma}{45 \sqrt{\pi} f m^6} q_{\perp}^6 k_{\perp} k'_{\perp} k''_{\perp}, \quad (52)$$

где k, k' — импульсы начальных фотонов, k'' и q — импульсы конечных фотона и аксиона.

Вероятность процесса в единицу времени определяется выражением

$$W_a = \frac{\alpha^3 c_e^2 \gamma^2 k_{\perp}^2 k'^2_{\perp}}{45^2 \pi^2 f^2 m^{12} k_0 k'_0 V} I, \quad (53)$$

где I — инвариант в подпространстве (0,3)

$$I = \frac{1}{\pi} \int \frac{d^3 q}{2q_0} \int \frac{d^3 k''}{k''_0} \delta(p - k'' - q) q_{\perp}^4 k''_{\perp}^2, \quad (54)$$

$$p = k + k'.$$

Достаточно громоздкое интегрирование приводит к следующему значению:

$$I = \frac{1}{280} \left(p^6 - \frac{1}{3} p^4 p_{\perp}^2 - \frac{1}{3} p^2 p_{\perp}^4 + p_{\perp}^6 \right). \quad (55)$$

Делением на фактор

$$\frac{k_0 k'_0 - \mathbf{k} \mathbf{k}'}{V k_0 k'_0}$$

из выражения (53) с учетом (55) получаем сечение рассеяния.

Для нахождения мощности акционного излучения следует рассчитать явный вид двумерного вектора в (0,3)

$$I_{\mu} = \frac{1}{\pi} \int \frac{d^3 q}{2q_0} \int \frac{d^3 k''}{2k''_0} \delta(p - k'' - q) q_{\perp}^4 k''_{\perp}^2 q_{\mu}. \quad (56)$$

Приведем результат вычисления:

$$I_{\mu} = \frac{p_{\mu}}{1680} \times \\ \times (3p^6 + 2p^4 p_{\perp}^2 - 6p^2 p_{\perp}^4 + 6p_{\perp}^6), \quad \mu = 0, 3. \quad (57)$$

Таким образом, мощность излучения из единицы объема может быть представлена в форме интеграла по фазовому объему начальных фотонов в равновесном поле излучения:

$$S_a = \frac{16\alpha^3 c_e^2 \gamma^2}{45^2 m^{12} f^2 (2\pi)^8} \int \frac{d^3 k}{2k_0} \frac{k_{\perp}^2}{\exp(k_0/T) - 1} \times \\ \times \int \frac{d^3 k'}{2k'_0} \frac{k'^2_{\perp}}{\exp(k'_0/T) - 1} I_0. \quad (58)$$

Интегрирование по угловым переменным с факторизацией зависимости от температуры дает

$$S_a = \frac{128}{45^3 105} \frac{\alpha^3 c_e^2 \gamma^2 T^{15}}{m^{12} f^2 (2\pi)^6} \int_0^{\infty} \frac{d\varepsilon}{e^{\varepsilon} - 1} \int_0^{\infty} \frac{d\varepsilon'}{e^{\varepsilon'} - 1} \times \\ \times \left(\frac{20}{21} \varepsilon^{10} \varepsilon'^3 + \frac{83}{21} \varepsilon^9 \varepsilon'^4 + 21 \varepsilon^8 \varepsilon'^5 + \frac{136}{5} \varepsilon^7 \varepsilon'^6 \right). \quad (59)$$

В результате численных расчетов значение двойного интеграла в формуле (59) оказалось приблизительно равным $8.7 \cdot 10^7$.

Окончательный результат для мощности излучения запишем следующим образом:

$$S_a \approx 0.058 \alpha^3 c_e^2 \left(\frac{B}{B_0} \right)^2 \left(\frac{m}{f} \right)^2 \left(\frac{T}{m} \right)^{15} m^5. \quad (60)$$

Соответствующее выражение для мощности нейтринного излучения согласно результатам работы [25] может быть записано в виде

$$S_{\nu} \approx 10 (1.24 C_V^2 + 1.20 C_A^2) \times \\ \times \alpha^3 (Gm^2)^2 \left(\frac{B}{B_0} \right)^2 \left(\frac{T}{m} \right)^{17} m^5. \quad (61)$$

5. ОБСУЖДЕНИЕ

Для оценки роли рассматриваемых эффектов следует предварительно установить диапазон значений температуры и индукции магнитного поля, в котором вклад рассмотренных диаграмм больше вклада трехполюсных.

Мощность нейтринного излучения при фотогорождении на ядрах за счет вклада треугольной диаграммы в полях с индукцией $B \gg B_0$ в схеме Ферми приблизительно равна [24]¹⁾

$$S_{\nu}^{(F)} \approx 0.6 \alpha^3 Z^2 (Gm^2)^2 \left(\frac{T}{m} \right)^{10} (n_0 m^2). \quad (62)$$

Приняв для оценки в формуле (49) $C_V \approx C_A \approx 1$, получаем

$$\frac{S_{\nu}(\gamma(Ze) \rightarrow \gamma(\nu\bar{\nu}))}{S_{\nu}^{(F)}(\gamma(Ze) \rightarrow \nu\bar{\nu})} \approx \\ \approx 3.8 \cdot 10^{-4} \left(\frac{B}{B_0} \right)^2 \left(\frac{T}{m} \right)^4. \quad (63)$$

Если $T = 0.1m$, то при максимально допустимом значении $B \sim 10^4 B_0$ вклад четырехполюсной диаграммы в мощность излучения может в несколько раз превосходить вклад трехполюсной. Если же считать, что формула (63) дает правильный по порядку величины результат и для типичных на ранних стадиях эволюции сверхновых температур $T \sim m$, то процесс радиационного фотогорождения начинает доминировать уже при $B \sim 10^2 B_0$.

¹⁾ В формуле (5) этой работы пропущен множитель $(2\pi)^{-3}$ с соответствующей поправкой в последующих выражениях.

Вклад треугольной диаграммы в неупругий процесс $\gamma\gamma \rightarrow \nu\bar{\nu}$ в схеме Ферми в полях с индукцией $B \gg B_0$ описывается выражением [33]

$$S_\nu^{(F)} \approx 0.13\alpha^2(Gm^2)^2 \left(\frac{T}{m}\right)^{13} m^5. \quad (64)$$

Сравнивая (64) с вкладом четырехполюсной диаграммы (61), опять полагаем $C_V \approx C_A \approx 1$ и получаем относительную величину

$$\frac{S_\nu(\gamma\gamma \rightarrow \gamma(\nu\bar{\nu}))}{S_\nu^{(F)}(\gamma\gamma \rightarrow \nu\bar{\nu})} \approx 0.8 \left(\frac{B}{B_0}\right)^2 \left(\frac{T}{m}\right)^4, \quad (65)$$

т. е. в этом случае возможный диапазон изменения параметров B и T в области доминирования $S_\nu(\gamma\gamma \rightarrow \gamma(\nu\bar{\nu}))$ несколько шире.

Сравним теперь рассматриваемые механизмы нейтринной светимости с традиционным за счет модифицированного URCA-процесса, мощность которого по порядку величины равна

$$S_\nu(\text{URCA}) \sim 10^{27} \left(\frac{\rho}{\rho_0}\right)^{2/3} \left(\frac{T}{m}\right)^8 \frac{\text{эрг}}{\text{см}^3 \cdot \text{с}}, \quad (66)$$

где $\rho_0 = 2.8 \cdot 10^{14} \text{ г/см}^3$ — характерная ядерная плотность, ρ — средняя плотность звезды. Результат (49) может быть представлен в аналогичной форме ($C_V \approx C_A \approx 1$):

$$S_\nu(\gamma(Ze) \rightarrow \gamma(\nu\bar{\nu})) \sim 10^{20} \left(\frac{B}{B_0}\right)^2 \times \\ \times \left(\frac{T}{m}\right)^{14} \left(\frac{Z^2}{A}\right) \left(\frac{\rho}{\rho_0}\right) \frac{\text{эрг}}{\text{см}^3 \cdot \text{с}}. \quad (67)$$

В предположении справедливости оценки (66) при $T \sim m$ и с учетом среднего значения Z^2/A в диапазоне 1–10 [34] находим, что вклад механизма радиационного фоторождения нейтрино на ядрах конкурирует с URCA-процессом при $B \sim 10^3\text{--}10^4 B_0$. Это также согласуется с комментариями к формуле (63).

Определяемая формулой (61) мощность излучения имеет порядок

$$S_\nu(\gamma\gamma \rightarrow \gamma(\nu\bar{\nu})) \sim 10^{17} \left(\frac{B}{B_0}\right)^2 \left(\frac{T}{m}\right)^{17} \frac{\text{эрг}}{\text{см}^3 \cdot \text{с}} \quad (68)$$

и даже при $B \sim 10^4 B_0$, $T \sim m$ не конкурирует с мощностью URCA-процесса.

Таким образом, при указанных значениях параметров B и T , для которых процесс радиационного фоторождения может стать доминирующим, нижняя граница масштаба нарушения PQ -симметрии и

верхняя граница масс аксиона могут быть получены из условия

$$S_a(\gamma(Ze) \rightarrow \gamma a) \lesssim S_\nu(\gamma(Ze) \rightarrow \gamma(\nu\bar{\nu})). \quad (69)$$

С учетом формул (3), (39), (49) получаем

$$f \gtrsim 1.7 \cdot 10^8 \frac{c_e(m/T)}{(0.5C_V^2 + 0.7C_A^2)^{1/2}} \text{ ГэВ}, \quad (70)$$

$$m_a \lesssim 3.5 \cdot 10^{-2} \text{ эВ} \left(\frac{T}{m}\right) \frac{(0.5C_V^2 + 0.7C_A^2)^{1/2}}{c_e}. \quad (71)$$

Для предположенных значений $T \sim m$, $B \sim 10^3\text{--}10^4 B_0$ и при $c_e \sim 1$ это не противоречит возможному диапазону (4), полученному из иных соображений.

ЛИТЕРАТУРА

1. G. G. Raffelt, *Stars as Laboratories for Fundamental Physics*, Chicago Univ. Press, Chicago (1996).
2. Г. С. Бисноватый-Коган, *Физические вопросы теории звездной эволюции*, Наука, Москва (1989).
3. Ф. Боули, П. Фогель, *Физика массивных нейтрино*, Мир, Москва (1990).
4. М. Б. Волошин, К. А. Тер-Мартirosyan, *Теория калибровочных взаимодействий элементарных частиц*, Энергоатомиздат, Москва (1984).
5. V. Petrosian, G. Beaudet, and E. E. Salpeter, Phys. Rev. **154**, 1445 (1967).
6. W. Fowler and F. Hoyle, Appl. J. Suppl. **9**, 201 (1964).
7. L. Rosenberg, Phys. Rev. **129**, 2786 (1963).
8. M. Delbrück, Z. Phys. **84**, 144 (1933).
9. H. E. Jackson and K. J. Wetzel, Phys. Rev. Lett. **22**, 1008 (1969).
10. M. Bolsterly, Phys. Rev. **94**, 282 (1962).
11. G. Jarlskog, L. Jonsson, S. Prunster et al., Phys. Rev. D **8**, 3813 (1973).
12. Г. С. Бисноватый-Коган, С. Г. Моисеенко, Астрон. Ж. **69**, 563 (1992); R. C. Duncan and C. Thompson, Astrophys. J. **392**, L9 (1992); C. Thompson and R. C. Duncan, Mon. Not. R. Astron. Soc. **275**, 255 (1995).
13. Д. В. Гальцов, Н. С. Никитина, ЖЭТФ **62**, 2009 (1972).
14. В. В. Скobelев, ЖЭТФ **71**, 1263 (1976).

15. В. Н. Байер, В. М. Катков, ДАН СССР **171**, 313 (1966).
16. В. И. Ритус, Труды ФИАН **111**, 96 (1979); ЖЭТФ **56**, 986 (1969).
17. А. Д. Каминкер, К. П. Левенвиш, Д. Г. Яковлев, Письма в Астрон. Ж. **17**, 1090 (1991).
18. В. В. Скobelев, ЖЭТФ **107**, 322 (1995).
19. R. M. Barnett et al. (PDG), Phys. Rev. D **54**, 1 (1996).
20. В. В. Скobelев, ЖЭТФ **72**, 1298 (1977); Изв. ВУЗов, физика, № 10, 142 (1975).
21. А. В. Кузнецов, Н. В. Михеев, ЖЭТФ **118**, 863 (2000).
22. Ю. М. Лоскутов, В. В. Скobelев, ЯФ **43**, 1495 (1986).
23. В. В. Скobelев, ЖЭТФ **117**, 1059 (2000).
24. Ю. М. Лоскутов, В. В. Скobelев, ЯФ **31**, 1279 (1980).
25. Ю. М. Лоскутов, В. В. Скobelев, ТМФ **70**, 303 (1987).
26. Ю. М. Лоскутов, В. В. Скobelев, ТМФ **84**, 314 (1990).
27. R. D. Peccei and H. R. Quinn, Phys. Rev. Lett. **38**, 1440 (1977); R. D. Peccei, *CP Violation*, ed. by C. Jarlskog, World Sci., Singapore (1989).
28. G. G. Raffelt, Phys. Rep. **198**, 1 (1990).
29. Н. П. Клепиков, ЖЭТФ **26**, 19 (1954).
30. В. Б. Берестецкий, Е. М. Лифшиц, Л. П. Питаевский, *Релятивистская квантовая теория*, ч. 1, Наука, Москва (1968), с. 388.
31. Ю. М. Лоскутов, Б. А. Лысов, В. В. Скobelев, ТМФ **53**, 469 (1982); Ю. М. Лоскутов, В. В. Скobelев, Вестник МГУ, физ.-астр. № 6, 95 (1983); Вестник МГУ, физ.-астр. № 1, 70 (1984).
32. В. В. Скobelев, ЖЭТФ **116**, 26 (1999); ЖЭТФ **116**, 2271 (1999).
33. Ю. М. Лоскутов, В. В. Скobelев, Вестник МГУ, физ.-астр. № 4, 10 (1981).
34. J. W. Negele and D. Vautherin, Nucl. Phys. A **207**, 298 (1973).